

24173

Untersuchungen
und Betriebserfahrungen an
Kondensatoren.

23

1

24174

Dr. Saenz

Dr. Strembeck

Dr. von Staden

Japan

1951

1952

1953

1954

1955

1956

1957

1958

1959

1960

1961

1962

1963

1964

1965

1966

1967

1968

1969

1970

Inhaltsverzeichnis.I. EinleitungII. Thermodynamische Untersuchungen

1. Nicht kondensierbare Bestandteile im Einspritzprodukt.

2. Darstellung des Kondensationsvorganges.

a) Bestimmung der Wärmeübergangszahl bei der Kondensation von Alkoholdampf.

b) Ermittlung der Kühlfläche.

III. Praktische Folgerungen aus den theoretischen Untersuchungen

1. Einfluß der Verschmutzung.

2. Maßnahmen zur Verhinderung der Verschmutzung und Erhöhung der Kühlwassertemperatur.

3. Gasabfuhr aus dem Kondensator.

IV. Zusammenfassung

Leuna-Werke, den 24. Januar 1942.
Nr.

Untersuchungen und Betriebserfahrungen an Kondensatoren.

I. Einleitung.

Wenn man Reparatingenieur einer Destillationsanlage wird und man geht die ersten Male durch den neuen Betrieb, so fallen einem unter anderem auch verschiedene Kondensatoren auf. Einer von ihnen wurde fotografiert und ist auf Abbildung 1 zu sehen. Der Apparat, der zur Kondensation von Isobutylalkohol

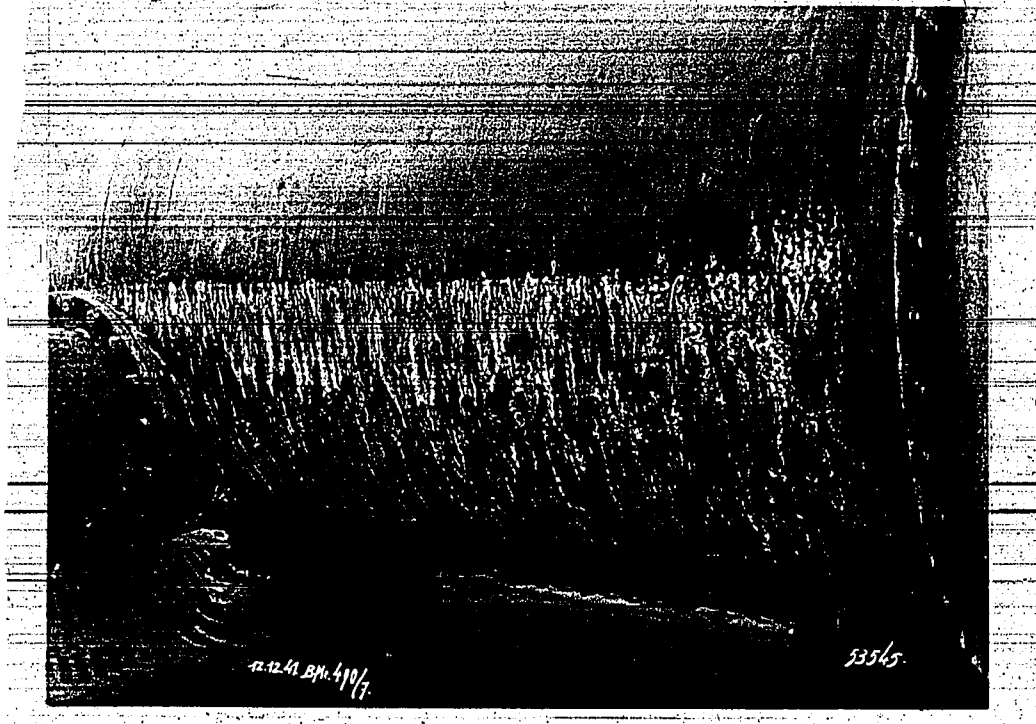


Abbildung 1:
Kondensator von Kolonne 7 in der
Isobutyldestillation.

dient und von dem auf der fotografischen Aufnahme der seitliche Eintrittsstutzen des Dampfes, der Kondensatablaufstutzen, der Beckelflansch und ein Teil des Mantels zu erkennen ist, weist in seinem Mantel 2 ganz verschiedene Zonen auf. Die untere Hälfte hat im Laufe der Zeit stark gelitten, die Farbe ist dort zerstört und zum großen Teil abgeblättert. Die obere Hälfte sieht dagegen noch sehr schön aus und die Farbe ist an dieser Stelle vollständig erhalten geblieben. Die Führung des Dampfes erfolgt vom mitt-

leren Eintrittsstutzen in der unteren Kondensatorhälfte nach außen. An den beiden Böden tritt der Dampf durch Öffnungen in den oberen Kondensatorteilen und strömt dort entgegengesetzt der Dampfführung im Unterteil nach der Mitte, geht dann nochmals nach außen und wieder nach der Mitte zu, wo oben auf dem Bild nicht sichtbar der Anschluß an die Tschuchung sitzt. Die gesamte Kondensatorfläche beträgt 180 m^2 . In jenem Bereich im unteren Teil, wo die Farbe stark abgeblättert ist, sind etwa 62 m^2 Kühlfläche untergebracht. Das Wasser strömt durch die Kühlrohre, der Dampf um die Rohre, wie es allgemein bei Kondensatoren üblich ist.

Wenn die Verteilung von gut erhaltenener Farbe und korrodierter Fläche umgekehrt wäre, so würde man annehmen, daß die Farbe oben durch atmosphärische Einflüsse wie Regen, Schnee zerstört worden ist, während sich unten im Regenschatten der ursprüngliche Zustand erhalten hat. Da es aber umgekehrt ist, bemüht man sich um eine Erklärung dieses Phänomens.

Wenn man zu diesem Zweck näher an den Kondensator herangeht und ihn befühlt, so verbrennt man sich, unten wo die Farbe abgeblättert ist, die Finger, während der obere Teil des Apparates vollständig kalt ist.

IV. Technologische Untersuchungen:

1. Nicht kondensierbare Bestandteile im Einspritzprodukt:

Nach dem Gesetz der Thermodynamik ist die Kondensation unter der Voraussetzung konstanten Druckes ein Vorgang, der sich bei konstanter Temperatur abspielt. Ein Druckabfall im Kondensator, der einen gerätsigen Temperatursturz zur Folge haben könnte, ist aber bei den üblichen Strömungsgeschwindigkeiten nicht möglich. Die Erscheinung ist also nur so zu erklären, daß sich oben im Kondensator ein nicht kondensierbares Medium einlagert und der ganze obere Teil, der sich kalt anfühlt, infolgedessen nicht am Wärmeaustausch teilnimmt. Da dieser Verlust an Wärmeaustauschfläche wenig vorteilhaft ist, erscheint es zweckmäßig, den Kondensationsvorgang bei Anwesenheit von Gasen einmal näher zu betrachten. Als Mangel an entsprechenden Unterlagen ist eine exakte Darstellung nicht möglich. Die folgenden Untersuchungen sollen deshalb nur ein qualitativ richtiges Bild geben. Sie lassen aber wertvol-

Rückschlüsse auf Konstruktion und Betrieb zu, auch wenn sie quantitativ nicht allen Ansprüchen genügen.

In Zahlentafel 1 sind für zwei in Leuna in der Isobutyldestillation aufgestellten Kolonnen die stündlich anfallenden

Kondensator	1	2
Gasmenge m ³ /h 0°	760	9642
Ganzzusammensetzung	CO ₂ 0,0 %	CO ₂ 7,67 %
C ₂ 0,6 %	(CH ₃) ₂ O 69,93 %	
H ₂ 0,4 %	C ₃ H ₈ 0,80 %	
C ₃ 0,5 %	C ₃ H ₆ 0,14 %	
H ₂ 97,3 %	C ₄ H ₁₀ 2,94 %	
CH ₄ 0,2 %	C ₄ H ₈ 1,82 %	
C ₂ H ₆ 0,7 %	C ₅ + höher 16,70 %	
C ₂ H ₄		
Einspritzung	4,0 m ³ /h	22,0 m ³ /h
Kühllauf + rektifiziert	9,600 t/h	51,000 t/h
Kühlfläche des Kondensators	150 m ²	2 x 270 + 2 x 150 = 840 m ²
Siedepunkt des Destillates	705° C	66° C
Verdampfungswärme	150,2 kcal/kg	264 kcal/kg
Volumen des Dampf-Gas-		
Gemisches im Kondensator-		
Eintrittsstutzen	4035 m ³ /h	27 156 m ³ /h
Volumen des Dampf-Gas-		
Gemisches im Kondensator-		
Austrittsstutzen bei 10° C	0,44 m ³ /h	163 m ³ /h

Schlußbetrachtungen

und über die Sicherheitstauchungen an den Kondensatoren abzühlenden Gasmengen ebenso wie ihre Zusammensetzung eingetragen. Bei der Kolonne 3 beträgt der nicht kondensierbare Bestandteil 150 m³/h und besteht zum größten Teil, etwa 70 % aus Dimethyläther. Weiter sind darin noch 7,67 % CO₂ und 16,7 % C₃ Kohlenwasserstoffe enthalten. Es sind dies durchweg Bestandteile, die in den vergleichbaren Anlagenverarbeitungen im Superprodukt gezeigt werden.

sind. Die Kolonne wird mit 22 t/h Einspritzprodukt belastet und die Rücklauf- und Destillatmenge beträgt 31 t/h. Als Kondensationsfläche sind 2×270 und 2×150 , also insgesamt 840 m^2 angeordnet. Der Siedepunkt des Destillats, das im wesentlichen aus Methanol besteht, beträgt bei Atmosphärendruck 66°C , die Verdampfungswärme von Methanol ist 264 kcal/kg.

In dem auf Abbildung 1 gezeigten Kondensator von Kolonne 7 fällt eine wesentlich geringere Gasmenge an, und zwar nur $0,42 \text{ m}^3/\text{h}$. Sie besteht fast vollständig aus Stickstoff mit Spuren von Sauerstoff, Wasserstoff und Kohlenoxyd. Zweifellos ist dieses Gas identisch mit dem als Schutzgas verwendeten Stickstoff für die Speichertanks. Das Einspritzprodukt löst dieses Gas während des Aufenthalts im Tank und auf diesem Weg gelangt es in die Kolonne und in den Kondensator von 180 m^2 Kühlfläche. In die Kolonne werden stündlich $4,0 \text{ m}^3$ Produkt eingespritzt und die Rücklauf- und Destillatmenge beläuft sich auf $9,6 \text{ t/h}$ Isobutylether mit einem Siedepunkt von 108°C und einer Verdampfungswärme von 158 kcal/kg.

2. Darstellung des Kondensationsvorganges.

Die im Kondensator abgeführt Wärmemenge Q in kcal/h ergibt sich aus der Gleichung:

$$Q = k \cdot F \cdot \Delta t$$

wobei k die Wärmeübergangszahl in $\text{kcal}/\text{m}^2 \text{h}$ und $^\circ\text{C}$

t die Temperaturdifferenz Dampf-Kühlwasser

F die Flächendurchgangszahl in $\text{kcal}/\text{m}^2 \text{h}$ und $^\circ\text{C}$

bedeuten.

Während die Bestimmung von Δt mit den vorhandenen Unterlagen verhältnismäßig einfach und genau möglich ist, stellt die Ermittlung der Wärmedurchgangszahl k den unsichersten Faktor der Rechnung dar. Die Wärmedurchgangszahl k ergibt sich aus der Beziehung:

$$\frac{1}{k} = \frac{1}{\alpha_1} + \frac{d}{\lambda} + \frac{1}{\alpha_2}$$

die bedeuten:

α_1 die Wärmeübergangszahl Dampf-Wand in $\text{kcal}/\text{m}^2 \text{h}$ und $^\circ\text{C}$

d die Wandstärke des Rohres in m

λ die Wärmeleitfähigkeit der Rohrwand in $\text{kcal}/\text{m h}$ und $^\circ\text{C}$

α_2 die Wärmeübergangszahl, Wand-Hilfwater in $\text{kcal}/\text{m}^2 \text{h}$ und $^\circ\text{C}$.

Von diesen Größen sind d , λ und α_2 mit großer Genauigkeit zu ermitteln, jedoch macht die Bestimmung der Wärmeübergangszahl α_1 Schwierigkeiten, da nur wenig über den Wärmeübergang beim Kondensieren von Dampf-Gas-Gemischen bekannt ist. Es soll deswegen kurz der Weg beschrieben werden, der bei dieser Untersuchung zur näherungsweisen Ermittlung von α_1 benutzt wurde.

a. Bestimmung der Wärmeübergangszahl bei der Kondensation von Alkoholdampf

Die Wärmeübergangszahl der reinen Dampfphase lässt sich nach der Wasserhauttheorie von Nußelt¹⁾ berechnen, und zwar ist

$$= 0,8924 \cdot \frac{2 \cdot r}{3} \cdot \frac{\lambda}{d} \cdot \left(\frac{t_1 - t_2}{\Delta t} \right)^2 \text{ kcal/m}^2 \text{ sec. } ^\circ\text{C}$$

Dabei bedeuten:

r die Verdampfungswärme in kcal/kg

λ das spezifische Gewicht der Flüssigkeit in kg/m³

λ die Wärmeleitzahl der Flüssigkeit in kcal/m sec. $^\circ\text{C}$

ρ die Zähigkeit der Flüssigkeit in kg/sec. m²

t_1 die Dampftemperatur in $^\circ\text{C}$

t_2 die Wandtemperatur in $^\circ\text{C}$

d der Durchmesser des Rohres in m.

b.) die erforderlichen Stoffwerte der niederen Alkohole lässt sich bekannt sind es möglich, die Wärmeübergangszahl beim Kondensieren von reinen Alkoholdämpfen zu berechnen. Abbildung 2 zeigt den Verlauf der so berechneten Wärmeübergangszahl für Methylalkohol in Abhängigkeit von der Temperaturdifferenz Dampf Wand und gleichzeitig eine durch Versuche aufgenommene Kurve, welche gute Übereinstimmung mit den berechneten Werten zeigt. Die Werte nach der Nußeltschen Theorie gelten allerdings für Rhombendampf.

Der Einfluß der Strömung kann nach einer erweiterten Formel von ihm bei sehr gut eingeprägten können ermittelt werden. Da bei den Kondensatoren in Destillationsanlagen aber fast durchweg horizontale Rohre verwendet werden, stößt die Berücksichtigung des Geschwindigkeitsinflusses auf Schwierigkeiten. In die gleiche Abbildung sind nach der gleichen Theorie berechneten Wärmeübergangszahlen für Kondensatoren von Wasserdampf eingetragen.

1) P. NUSSLIT. Die Oberflächenkondensation des Wasserdampfes ZVDI Band 60, 1916, Seite 541 und 569.

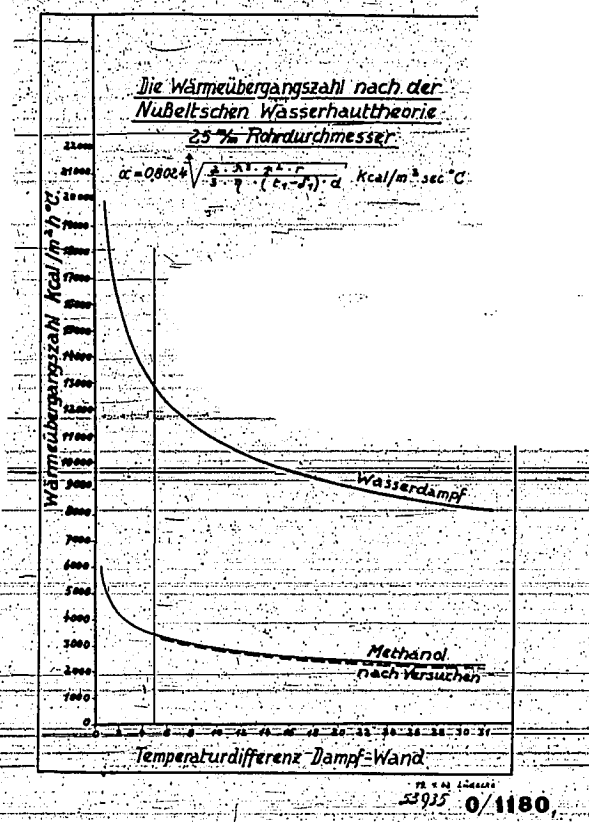


Abbildung 2
Die Wärmeübergangszahl beim Kondensieren von Dämpfen nach der Nusseltschen Wasserhauttheorie für 25 mm Rohrdurchmesser.

Wärmeübergangszahlen beim Kondensieren von organischen Flüssigkeiten und gleichzeitiger Anwesenheit von Inertgas, sind meines Wissens bisher nicht bestimmt worden. Nur für Wasserdampf-Gas-Gemisch existiert eine aufzähligliche Arbeit von Lüder,²⁾ die bei den vorliegenden Untersuchungen zur angenäherten Ermittlung der Wärmeübergangszahlen für Gemische von Gasen mit organischen Dämpfen herangezogen wurde.

Trägt man die von Lüder für Wasserdampf und verschiedene Gase gewonnenen Werte über dem Partialdruckverhältnis $P_{\text{Gas}} / P_{\text{Dampf}}$ auf (Abbildung 3) und wählt man sowohl für die Abs-

- Blatt 7 -

²⁾ Lüder. Wärmeübergang bei Kondensation von Dämpfen aus Gas-Dampf-Gemischen. Vortrag für die Fachsitzung "Wärperforschung" auf der VDI-Hauptversammlung 1939.

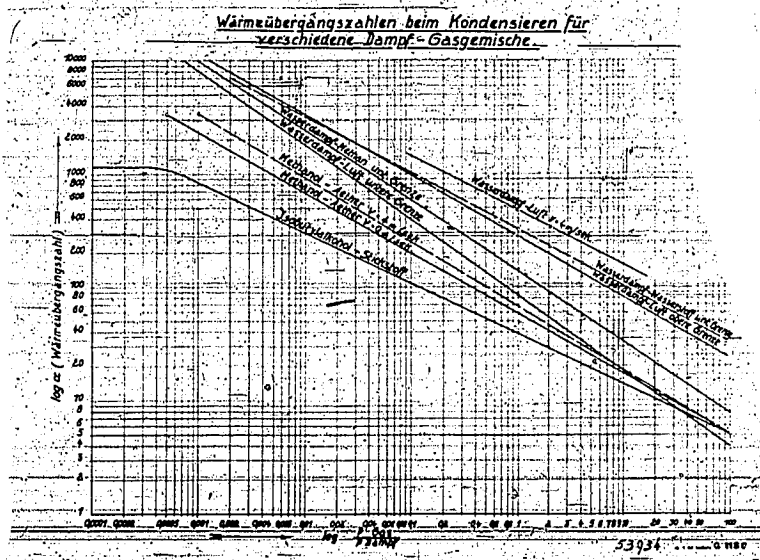


Abbildung 3
Wärmeübergangszahlen beim Kondensieren von
verschiedenen Dampf-Gasmischungen in Abhängig-
keit vom Partialdruckverhältnis $P_{\text{Gas}} / P_{\text{Dampf}}$.
wissen können und auch für die Ordinatenachse logarithmischen
Werte, so erhält man in dem von Lüder untersuchten Bereich gute
Faile Linien, welche die Abhängigkeit zwischen Wärmeübergangszahl
und Partialdruckverhältnis darstellen. Wenn man an, daß die
gleiche Gesetzmäßigkeit auch in den nicht durch Versuchspunkte
belagten Bereich niedriger Partialdruckverhältnisse und auch zu
anderen Dampf-Gasmischungen gilt, so hat man dadurch einen Beweis,
daß man bei der Kondensation organischer Stoffe die Wärmeüber-
gangszahl näherungsweise ermitteln kann.

Für sehr große Partialdruckverhältnisse, also dort wo
die Gasphase die Dampfphase überwiegt, ist die Wärmeübergangszahl
in erster Linie durch das Gas bestimmt und man erhält ver-
dachtlich die gleichen Werte, wenn man den Gas geringe Mengen
Kettenol oder Methanol-Dampf zusetzt. Es wurden also die Wär-
meübergangszahlen im Bereich hoher Partialdruckverhältnisse
 $P_{\text{Gas}} / P_{\text{Dampf}}$ als identisch mit den Werten nach Lüder angesehen.
Zu Grunde gelegt wurde der Wert für ein Luft-Wasser-Dampfgemisch.

bei $P_{Gas} / P_{Dampf} = 100$.

Für sehr kleine Partialdruckverhältnisse, also dort wo die Dampfphase weit überwiegt, wurde angenommen, daß sich die Kondensation nach den in der Nußeltschen Wasserhauttheorie festgelegten Gesetzmäßigkeiten vollzieht und daß in diesem Bereich die Wärmeübergangszahlen nach dieser Theorie ermittelt werden können. Ferner wurde angenommen, daß die nach der Wasserhauttheorie von Nußelt für eine bestimmte Temperaturdifferenz berechneten Wärmeübergangszahlen sich sowohl für Wasserdampf als auch für Methanol-dampf bei dem gleichen Partialdruckverhältnis einstellen. Verlängert man also die Wärmeübergangszahl nach Lüder für Wasserdampf-Luft in Abbildung 2 geradlinig bis zu dem nach der Wasserhauttheorie für 5° Temperaturdifferenz berechneten Wert für Wasserdampf, der aus Abbildung 2 entnommen werden kann, so ist das Partialdruckverhältnis 0,0007 festgelegt, bei dem nach der Methanol-Ather die Wärmeübergangszahl den Wert nach der Nußeltschen Theorie erreicht. Die geradlinige Verbindung dieses Punktes in Abbildung 2 mit dem oben angegebenen Wert für Wasserdampf und Luft nach Lüder bei dem Partialdruckverhältnis 100, ergibt die Abhängigkeit der Wärmeübergangszahl vom Gasanteil in dem konzernierenden Gemisch Methanol und Aeth. Der Einfluß der Geschwindigkeit wurde noch berücksichtigt, indem die von Lüder für die Geschwindigkeit 4 m/sec. für Wasserdampf-Luft festgestellten Werte zur Ermittlung der Wärmeübergangszahl des Methanol-Athergemisches im Kondensator nach der oben geschilderten Methode heranwegen wurden.

In der gleichen Weise wurden auch die Wärmeübergangszahlen für den Kondensator der Kolonne 7 mit dem Gemisch Isopropyl-Alkohol und Stickstoff ermittelt. Hier ergab sich nur die Feststellung, daß die Verlängerung der Kurve für Wasserdampf-Luft bis zu dem Partialdruckverhältnis 0,000129, das der Zusammensetzung am Kondensatoreintritt entspricht, viel höhere Werte der Wärmeübergangszahl ergeben hätte, als man sie für 5° Temperaturdifferenz nach der Wasserhauttheorie erhält. Es wurde deshalb die gleiche Konstruktion wie vorher schon beschrieben angewandt, d.h. die Kurve für Wasserdampf-Luft nach Lüder bis zu dem Punkt geradlinig verlängert, wo der nach der Wasserhauttheorie ermittelte Wert für Wasserdampf erreicht wird. Durch diesen Faktor

ist dann das Partialdruckverhältnis 0,0005 bestimmt, bei dem auch die Wärmeübergangszahl, die nach der gleichen Theorie für Isobutylalkohol errechnet wurde, sich einstellt. In dem Bereich kleinerer Partialdruckverhältnisse, also von 0,0005 bis 0,000129 am Kondensatoreintritt, wurde die Wärmeübergangszahl als konstant angenommen.

Ferner wurde das Endergebnis mit den an den ausgeführten Kondensatoren gefundenen Werten verglichen und Übereinstimmung festgestellt, so daß man annehmen kann, daß die unter verschiedenen Annahmen aufgestellten Gesetzmäßigkeiten, die tatsächlichen Verhältnisse einigermaßen richtig wiedergeben.

b. Ermittlung der Kühlfläche.

mit den so bestimmten Wärmeübergangszahlen auf der Dampfseite, den aus dem Wärmetafel entnommenen Wärmeübergangszahlen auf der Wasserseite und unter der Annahme einer schlecht wärmeleitenden Schutzschicht in den Kühlrohren von 0,3 mm Stärke und einer Wärmeleitzahl $\lambda = 0,7 \text{ kcal/m h und } {}^{\circ}\text{C}$ wurde der Kondensationsvorgang verfolgt und die erforderliche Kühlfläche für die in Tafel 1 festgelegten Mengen berechnet. Auf die Werte 0,3 mm für die Stärke der Schutzschicht und $\lambda = 0,7$ für deren Wärmeleitzahl sind später noch eingangen worden.

In Abbildung 4 ist als Abszisse die für den Kondensator λ , also für Methylalkohol, die bei dem Kondensationsvorgang abgeführt Wärme in Millionen kcal/h eingetragen, und zwar beträgt sie bei vollständiger Abkühlung des Dampf-Gasmisches auf 10°C , aber ohne Abfuhr der Flüssigkeitswärme, 0 192 700 kcal/h. Als Ordinatenmaßstab wurde die Temperatur gewählt und der Temperaturverlauf während der Kondensation in Abhängigkeit von der abgeföhrten Wärmemenge eingetragen. Man sieht, daß die Temperatur über einen sehr großen Bereich nahezu konstant bleibt und erst für die letzten 10 % der abzuführenden Wärme einen sehr steilen Abfall aufweist. Den Berechnung wurden ferner die beiden Kühlwasser-Eintrittstemperaturen von 25° und 8°C zugrunde gelegt um zu jeder Eintrittstemperatur die Austrittstemperatur von 40 und 55°C gewählt. Die unter diesen Voraussetzungen notwendigen Kühl-

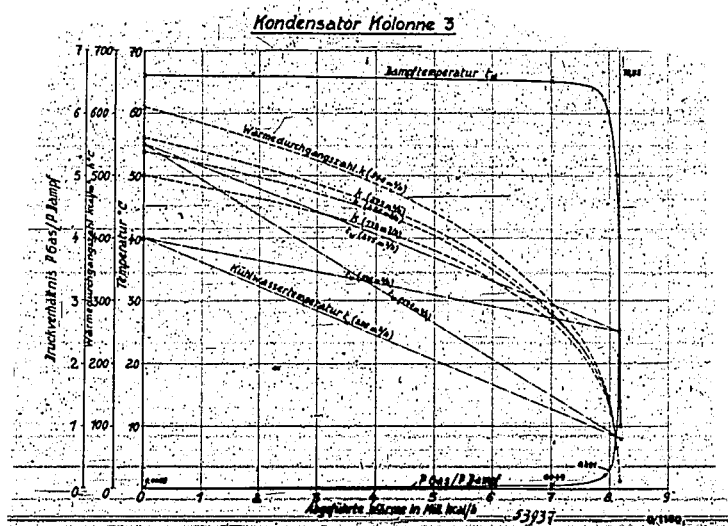


Abbildung 4
Kondensator Kolonne 3: Der Verlauf der Dampftemperatur, der Kühlwassertemperatur, des Druckverhältnisses $P_{\text{Gas}}/P_{\text{Bar}}$, und der Wärmedurchgangszahl im Abhängigkeit von der abgeführten Wärmemenge.

wasserseitigen sind in Zahlentafel 2 eingetragen.

AUFLAUFWÄRMEGÄLTIGKEIT	AUFLAUFTEMPERATUR	KÜHLWASSERMENGE
ABSTRETTTEMPERATUR	ABSTRETTTEMPERATUR	
8° C	40° C	256 E/h
6° C	55° C	174 m³/h
25° C	40° C	546 m³/h
25° C	55° C	273 m³/h

Zahlentafel 2

Da die Zunahme der Kühlwassertemperatur proportional der abgeführten Wärmemenge ist, sind die Temperaturkurven des Kühlwassers in Abbildung 4 gerade Linien. Die Wassergeschwindigkeit, die sich aus diesen Kühlwasserzangen berechnet, wurde zur Bestimmung der weiter oben angegebenen Wärmetransferzahl auf der Wasserseite benutzt.

Ferner ist in der Abbildung 4 noch das Partialdruckverhältnis P_{CO_2} / P_{H_2O} eingetragen. Dieses Verhältnis hat am Kondensatzaustritt den Wert 0,0069; nach etwa 6 Millionen abgesetzten kcal ist es auf 0,891 angestiegen und erreicht am Kondensatoraustritt bei $10^{\circ} C$ den Wert 16,85. Dort sind in den 150 m^2 Dimethyläther bei $10^{\circ} C$ Temperatur nur mehr 11 kg Ethanol enthalten, gegenüber 21 000 kg am Kondensatoreingang. Für die verschiedenen Partialdruckverhältnisse können die Abbildung 3 die Wärmeübergangszahlen α entnommen und mit den bereits bekannten Werten von α_2 und α_1 die Wärmedurchgangszahlen k berechnet und in Abbildung 4 über der abgesetzten Wärmemenge eingetragen werden. Man sieht aus der Abbildung, daß die Anwesenheit der Gasmenge sich erst bei der abgesetzten Wärmemenge auf die Kondensationsenthalpie auswirkt, während der Einfluß auf die Wärmeübergangszahl α_1 geringer und die Wärmedurchgangszahl k durch die Gegenwart des Gases nicht beeinflußt wird.

In Abbildung 4 entnehmen wir nun die Werte der Gasseitigen Wärmeübergangszahl α_2 und der Wärmedurchgangszahl k für die entsprechende Flüssigkeitsschichtdicke berechnet. Daß Flüssigkeitsschichtdicke von 5,4 mm bei

Kondensator Kolonne 3

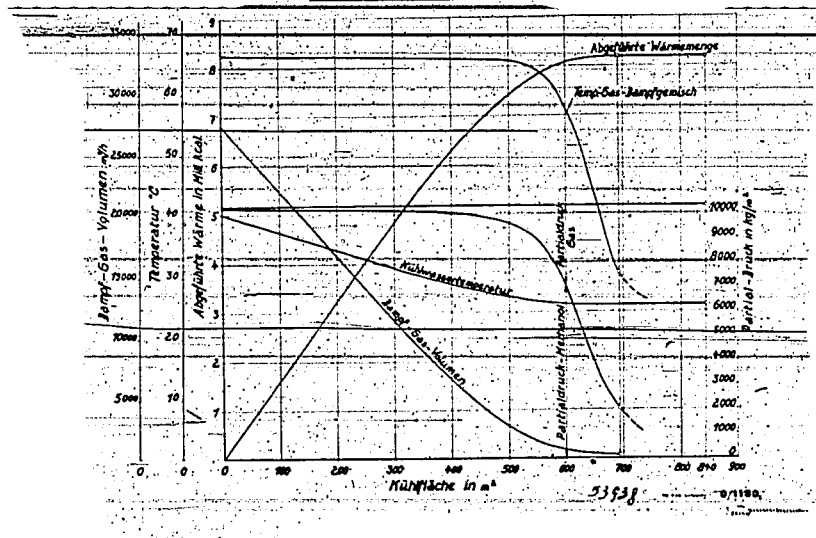


Abbildung 5 zeigt die Wärmedurchgangszahl k des Kondensators Kolonne 3, die abhängig ist von der abgesetzten Wärmemenge, von der Flüssigkeitsschichtdicke und von der Kondensattemperatur. Die Wärmedurchgangszahl k ist um so größer, je höher die Kondensattemperatur ist. Die Wärmedurchgangszahl k ist um so größer, je dünner die Flüssigkeitsschicht ist. Die Wärmedurchgangszahl k ist um so größer, je höher die Kondensattemperatur ist.

einer Einfülltemperatur des Kühlwassers von 25° und einer Aus-
trittstemperatur von 40° eingetragen. Als Abszisse wurde im Ab-
bildung 5 die Kühlfläche m^2 gewählt. Die abgeführte Wärmemenge
ist dann zuerst etwa direkt proportional der Kühlfläche, denn im
selben Verhältnis wie die Wärmedurchgangszahl in diesem Bereich
nach Abbildung 4 abnimmt, nimmt die Temperaturdifferenz zu. Erst
bei etwa $500 m^2$ Kühlfläche beginnt die Kurve für die abgeführte Wär-
memenge um und die pro $1 m^2$ abgeführte Wärmemenge wird im letzten
Schnellabschnitt wieder kleiner. Sowohl die Wärme-
durchgangszahlen als auch der Anteil der vergrößerten Gasmenge an
denen Temperaturdifferenzen sehr klein.

In Abbildung 5 sind ferner der Partikeldruck des Gases und des Dampfgehalts des Nebes auf den Kompressor eingetragen. Man erkennt, daß die Gasströmung eindeutig nur einen kleinen Reibungseinfluß, während die im Kompressoreingang aufgetretene Volumenänderung mit überwiegt. Außerdem ist in Abbildung 5 auch die Druckverteilung in seinem absoluten Werte dargestellt, die von etwa 27 140 N/m² im Kompressoreingang auf 160 N/m² an Ausgang abgesunken ist. Dies steht nicht sehr nach aus der Abbildung, da der Kompressoreingang schlecht ausgenutzt und der Kompressionsvorgang bei etwa 700 m³ abgeschlossen ist. Die letzten 120 m³ werden hierdurch keine Funktion mehr.

zurück, die v. der Abbildung 5 bekannten Forme vorwärts
entwickelt werden. Es ist zu beachten, daß die Entwicklung von
S. 12 bis S. 13 kein kontinuierlicher Vorgang ist, sondern
für die Rasterröhren S. 12 und S. 13 ist zwischen
die Rasterröhre S. 12 gewechselt. In dem Maße, wie die Röhre
menig für Entwicklung der Rasterröhre S. 13 benutzt wird, ist eine
wesentlich raschere Anhäufung der Rasterpunkte möglich. Im ersten
Fall der Konkurrenzvorgang bei 130° C ist ähnlich beobachtet
ist, während die Vergrößerung der Konkurrenzzeit und Reihenfolge
der Kühlvorgänge auf Temperatur und Dauer der Konkurrenz in
der Gegend von 220° C deutlich auszuwirken scheint, in der das
Gas den Wirkungsgrad verliert. Mit wachsender Teilung
zu erreichen ist, in den letzten Fall es leider nicht gelingt.

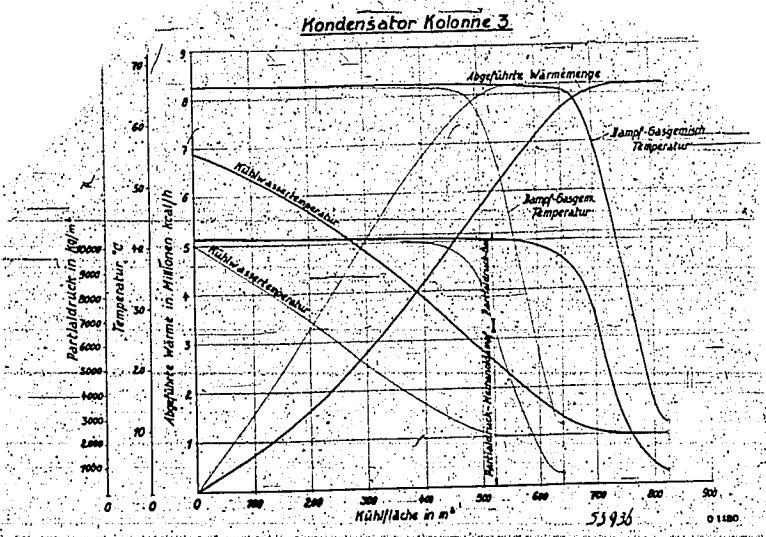


Abbildung 6
Kondensator Kolonne 3. Die abgeführte Wärmemenge, die Dampftemperatur, die Kühlwassertemperatur und der Partialdruck von Dampf und Gas als Funktion der Kühlfläche für 8°C Eintrittstemperatur und 40°C bzw. 55°C Austrittstemperatur des Kühlwassers.

Die gleichen Betrachtungen wurden auch für den Kondensator der Kolonne 7 mit der wesentlich kleineren Inertgasmenge durchgeführt. In Abbildung 7 werden wieder über der abgeführten

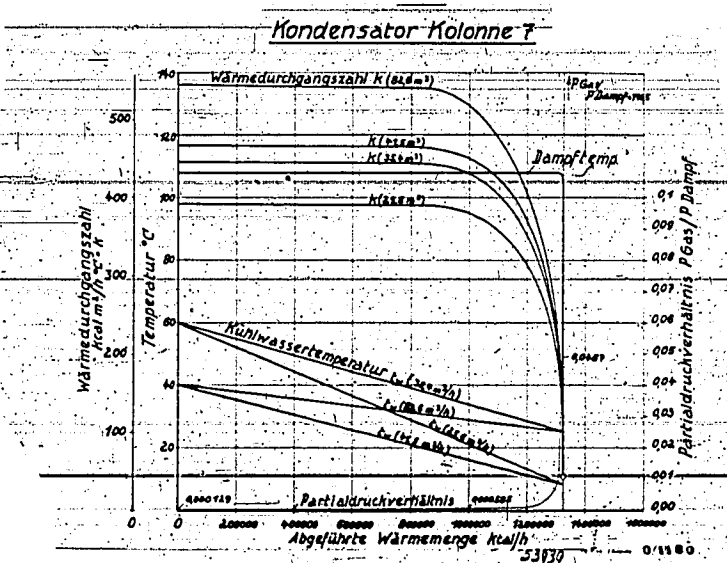


Abbildung 7
Kondensator Kolonne 7. Der Verlauf vom Dampftemperatur, der Kühlwassertemperatur, des Druckverhältnisses P_dampf / P_gas und der Wärmedurchgangszahl in Abhängigkeit von Dampf und abgeführten Wärmemenge.

Wärmemenge die Dampftemperatur und die Kühlwassertemperatur für 4 Fälle eingetragen. Ebenso enthält die Abbildung 4 die Wärmedurchgangszahlen für 4 Fälle, und zwar berechnet aus der Wärmeübergangszahl auf der Flüssigkeitssseite unter Berücksichtigung der Wassermengen aus Zahlentafel 3, der Wärmsübergangszahl des

Kühlwasser-eintrittstemperatur	Kühlwasser-austrittstemperatur	Kühlwassermenge
8° C	40° C	41,5 m³/h
8° C	60° C	25,6 m³/h
25° C	40° C	92,6 m³/h
25° C	60° C	35,4 m³/h

Zahlentafel 3

Dampf-Gasmisches nach der früher beschriebenen Methode mit Hilfe des Partialdruckverhältnisses $P_{\text{Gas}} / P_{\text{Dampf}}$ und unter Annahme einer Schmutzschicht von 0,3 mm Stärke und einer Wärmeleitzahl $= 0,7 \text{ kcal/m h}$ und $^{\circ}\text{C}$. Das Partialdruckverhältnis $P_{\text{Gas}} / P_{\text{Dampf}}$ steigt von 0,000129 am Kondensatoreingang auf den Wert 146,5 am Kondensatorausgang an, unter Annahme einer Temperatur von 10°C an dieser Stelle.

An der Abbildung 7 fällt auf, daß sich der Kondensationsvorgang bei fast vollständig konstanter Temperatur abspielt. Die geringe Gesamtemp. hat auf die Temperatur keinen merkbaren Einfluß und dadurch ist auch die scharfe Trennungslinie zwischen heißer und kalter Zone, die auf Abbildung 1 sichtbar war, zu erkennen. Dagegen ist die Feinstruktur dieses auf die Wärmedurchgangszahl von 121,2 m² K/W hinzu deutlich zu merken.

Mit den Wärmedurchgangszahlen und den Temperaturdifferenzen aus Abbildung 7 wurde einzuführen die für den Kondensationsvorgang erforderliche Aufwärme berechnet. In Abbildung 3 wurde über der Kühlfläche die eingeführte Wärme, aus Dampfgewalzen, die Dampftemperatur und die Kühlwassertemperatur bei 5°C Kühlwasser-eintritt und 40° bzw. 60°C Kühlwasser-austrittstemperatur eingetragen. Durch Verringerung der Kühlwasser-eintrittstemperatur von

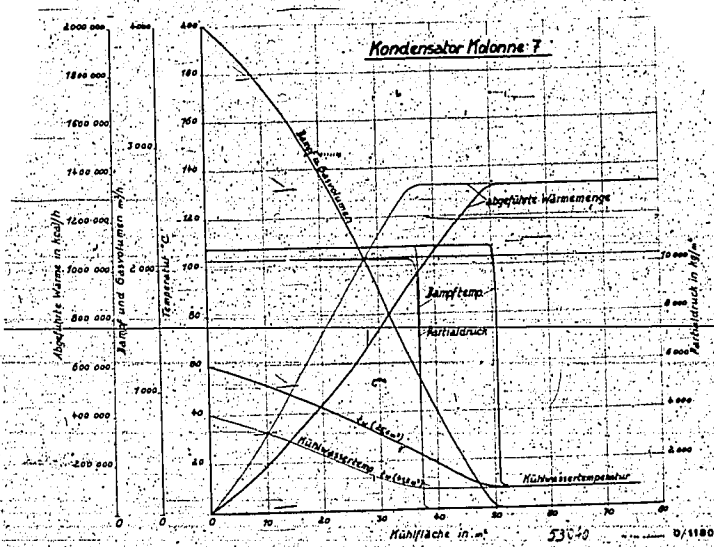


Abbildung 8
Kondensator-Kolonne 7. Die abgeführte Wärmemenge, die Kühlwassertemperatur, die Kühlwassertemperatur, das Dampf-Gasvolumen und der Partialdruck von Dampf und Gas als Funktion der Kühlfläche für 8°C Eintrittstemperatur und 40°C bzw. 60°C Ausgangstemperatur des Kühlwassers.

40 auf 60°C bzw. Verminderung der Kühlwassermenge von 41,5 auf 25,6 l/h, wird die Kondensationssfläche von 37 auf etwa 51 m² vergrößert. Da der Kondensator 469 m² Fläche besitzt, also sehr groß ist, könnte diese Wassereinsparung, falls nicht andere Gründe dagegen sprechen würden, ohne weiteres vorgenommen werden. Man sieht nun auch, daß die scharfe Trennungslinie zwischen abgesprungenener Farbe und gut erhaltenen Oberfläche am Kondensator theoretisch begründet ist.

In Abbildung 9 wurden die gleichen Werte wie in Abbildung 8 nochmals über der Kühlfläche aufgetragen, aber für 25°C Kühlwassereintrittstemperatur und die beiden Austrittstemperaturen von 40 bzw. 60°C. Die Erhöhung der Kühlwassertemperatur im Sommer auf 25°C bedeutet praktisch keine Vergrößerung der Kühlfläche, da durch die Erhöhung der Wassermenge auf 62,6 bzw. 55,4 l/h die Wärmeübergangszahl auf der Wasserveite und damit die Wärmedurchgangszahl etwa im gleichen Maße steigt als die Temperaturdifferenz zwischen Dampf und Kühlwasser abnimmt. Man benötigt also bei 8°C Wassereintritts- und 40°C Wasseraustritts-Tempera-

Kondensator Kolonne 7

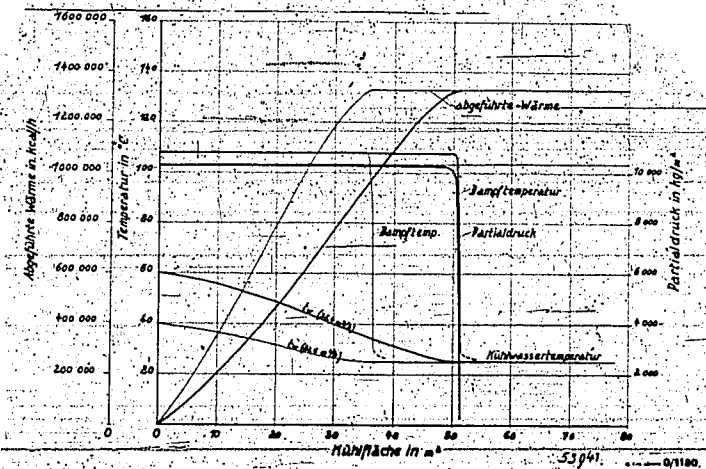


Abbildung 9
Kondensator Kolonne 7. Die abgeführte Wärmemenge, die Dampftemperatur, die Kühlwassertemperatur und der Partialdruck von Dampf und Gas als Funktion der Kühlfläche für 25°C Eintrittstemperatur und 40 bzw. 60°C Ausgangstemperatur des Kühlwassers.

tur die gleiche Kühlfläche 51 m^2 , als wenn man bei 25°C am Eintritt eine Temperaturerhöhung auf 40°C zuläßt. Dieses Ergebnis ist allerdings nur durch die hohe Kondensationstemperatur von 106°C begründet und nicht ohne weiteres auf Kondensatoren, die Dämpfe mit niedrigeren Verdampfungstemperaturen niederschlagen, zu übertragen.

III. Praktische Folgerungen aus den theoretischen Untersuchungen:

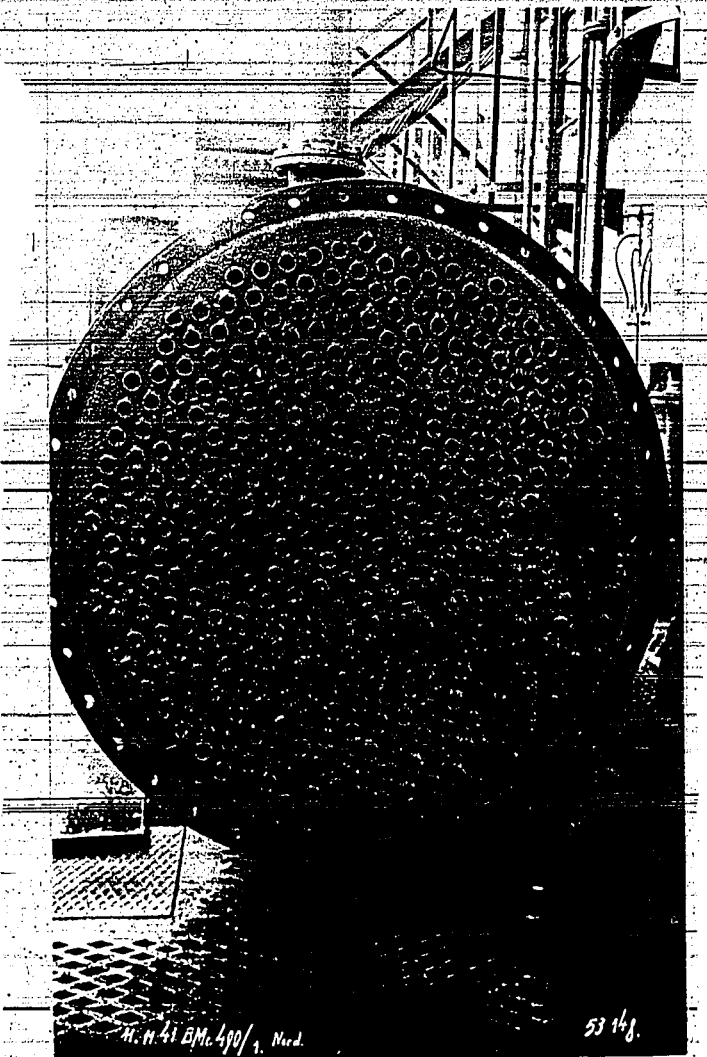
Die bei den theoretischen Betrachtungen vorgenommene Erhöhung der Kühlwasserzutritts temperatur von 40 auf 55 bzw. 60°C zur besseren Ausnutzung der Kühlfläche von zu groß dimensionierten Kondensatoren und die gleichzeitige Einsparung von Wasser konnten bisher nicht durchgeführt werden, da man mit der Wasseraustrittstemperatur an 40°C gebunden war. Bei 40°C ist die Korrosion noch erträglich und die Erneuerung der Kondensatorrohre muß etwa alle 2 1/2 Jahre vorgenommen werden. Würde man die Wassertemperaturen ohne weiteres auf 50 oder 60°C oder noch höher steigern, so würde diese Zeit auf einen wirtschaftlich nicht mehr tragbaren Wert heruntergeschrumpft werden und der Vorteil der Was-

Sicherung wäre durch erhohten Materialverbrauch zu aufge-
wogen.

3. Einfluß der Verschmutzung.

Man sieht aus obigen Betrachtungen, daß die Kondensato-
ren zum großen Teil überdimensioniert sind. Das kommt daher,
weil man bei der Verwendung von Seewasser mit sehr starker Ver-
schmutzung rechnen muß und die Stärke der Schutzschicht von
0,5 mm, wie sie der Rechnung zugrunde gelegt wurde, noch wesent-
lich übertroffen wird. Um ein Reinigen in zu kurzen Abständen zu
vermeiden, baut man den Kondensator möglichst groß und kann auf
diese Weise etwa $\frac{1}{4}$ bis $\frac{1}{2}$ Jahr Betriebszeit überbrücken.

Wie die Kondensatoren nach längerer Laufzeit aussiehen,
zeigen die beiden Abbildungen 10 und 11. Auf ihnen sind die Stirne-



H.N. 41 BM. 490/1, Nord.

53148.

Abbildung 10
verschmutzter Kondensator vor der Reinigung.

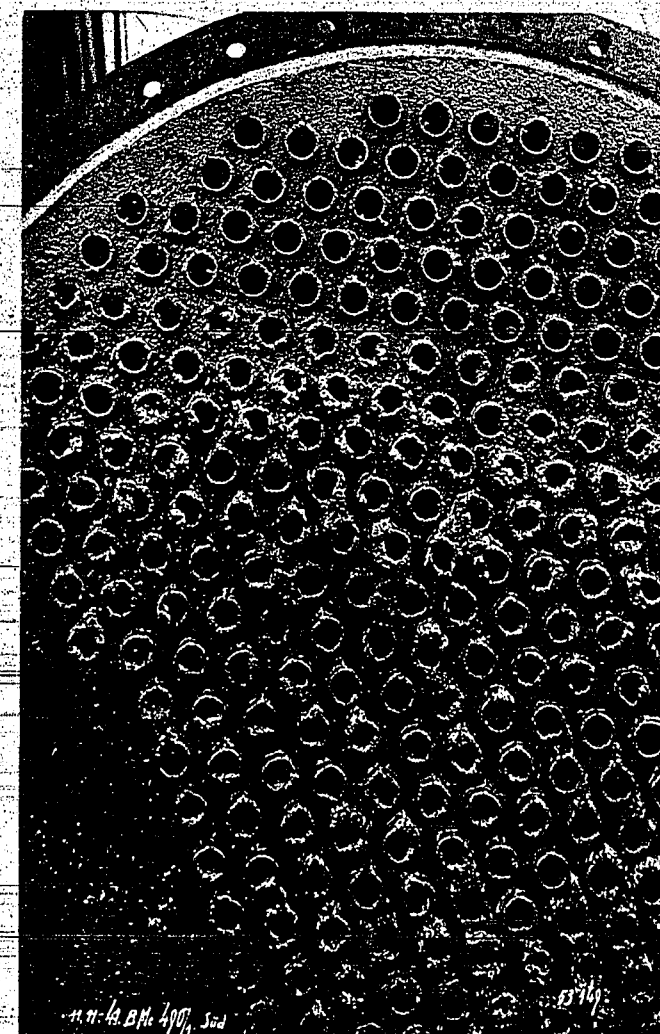


Abbildung 11
Verschmutzter Kondensator vor der Reinigung.

flächen eines 2 1/2 Jahre in Betrieb befindlichen Kondensators zu sehen, der in Abständen von 1/2 Jahr regelmäßig gereinigt worden ist. Ein Teil der Rohre ist nach einer Laufzeit von 1/2 Jahr vollständig zugegangen. In allen Rohren ist durchweg starker örtlicher Korrosionsangriff festzustellen, und zwar besonders im Gebiet höherer Temperaturen im Unterteil des Apparates, denn das Kühlwasser fließt von oben nach unten durch den Apparat hindurch. Die Reinigung dauert unter Anstrengung aller Kräfte und bei Anwendung von maschinellen Reinigungsmethoden etwa 8 Stunden. Nach der Säuberung stellt sich meistens heraus, daß einige Rohre diesen Vorgang nicht mehr überstanden haben und an den stark korrodierten Stellen gesessen sind. Sie müssen dann zugeklopft werden.

Der andere Grund, warum die Kondensatoren so groß ausfallen, ist der, daß die Wärmeübergangszahlen von Dampf-Gasmischungen nur sehr wenig bekannt sind und man deshalb mit sehr großen Sicherungszuschlägen rechnen muß. Genaue Berechnungsunterlagen würden hier außerordentlich segensreich wirken und zu einer bedeutenden Materialersparnis führen.

2. Maßnahmen zur Verhinderung der Verschmutzung und Erhöhung der Kühlwassertemperatur.

Man hat nun in Leuna Maßnahmen ergriffen, die gestatten, die Kühlfläche von zu groß bemessenen Kondensatoren besser auszunutzen, die Verschmutzung und Korrosion verhindern und gleichzeitig an Kühlwasser zu sparen. Dies wurde erreicht durch Anwendung von Einbrennlacken auf der Kühlwasserveite der Apparate. Seit etwa 3/4 Jahren werden sämtliche in der organischen Abteilung eingebauten Kondensatoren und Kühler ebenso wie diejenigen Apparate die neu berohrt werden und kurzzeitig aus dem Betrieb genommen werden können, mit einem Neozitüberzug versehen.

Die bisherigen Ergebnisse mit diesem Verfahren sind sehr günstig. Abbildung 12 und 13 zeigten einen Kondensator der nur 7 Monate im Betrieb war, ohne daß er gereinigt worden ist. Die Rohre sind innen noch vollständig glatt und zeigen keinerlei Anrostungen. Nur außen, wo beim Abtropfen des Lackes der Apparat wird bei der Behandlung ganz mit Farbe vollgestellt - und dem nachfolgenden Einbrennvorgang Blasen entstanden sind, sind einige punktförmige Roststellen zu bemerken, die aber keine Gefahr für ein Durchrostnen der Rohre darstellen. Bei den später behandelten Kondensatoren hatte die Werkstattarbeit bereits solche Fortschritte gemacht, daß diese Mängel nicht mehr aufgetreten sind. Allerdings müssen die Schlosser beim Montieren der Deckel große Sorgfalt verwenden, damit nicht durch Werkzeuge und sonstige harte Ge genstände die Lackschicht an besonders exponierten Stellen beschädigt wird.

Das Reinigen eines Kondensators geschieht dann so, daß man etwa die doppelte bis dreifache normale Wassermenge anstellt, und dadurch den Schmutz, der sich auf der glatten Rohrfläche abgesetzt hat, herauswäscht, oder daß man bei geöffnetem Kondensator die einzelnen Rohre mit einem Schlauch durchspült. Die Verwendung

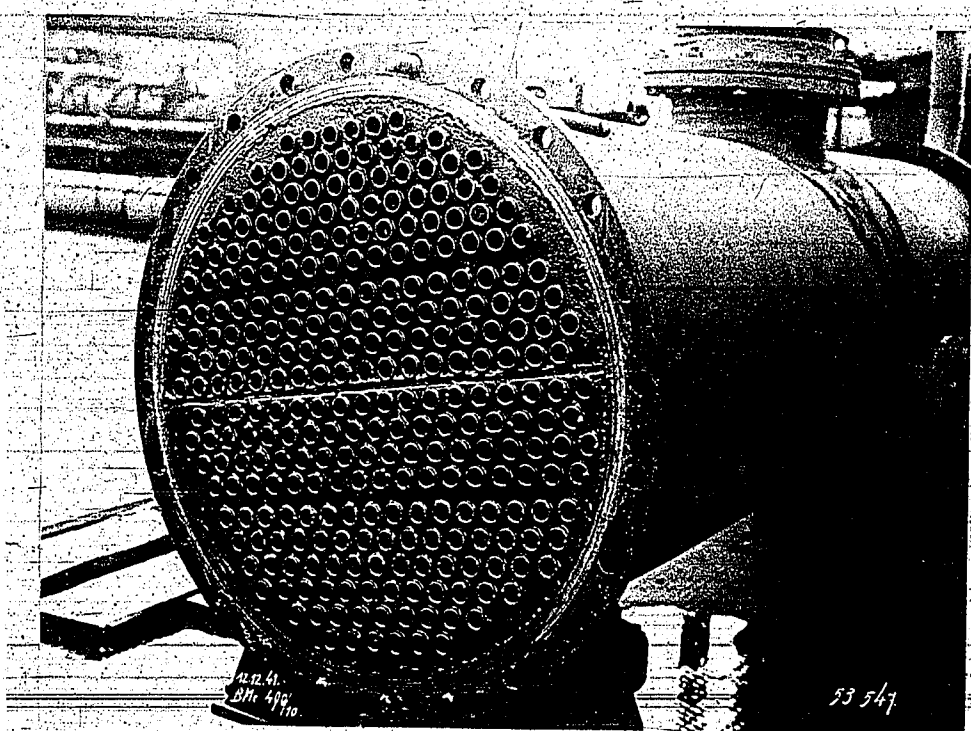


Abbildung 12
Mit Necrosit behandelter Kondensator nach
einer Laufzeit von 7 Monaten.

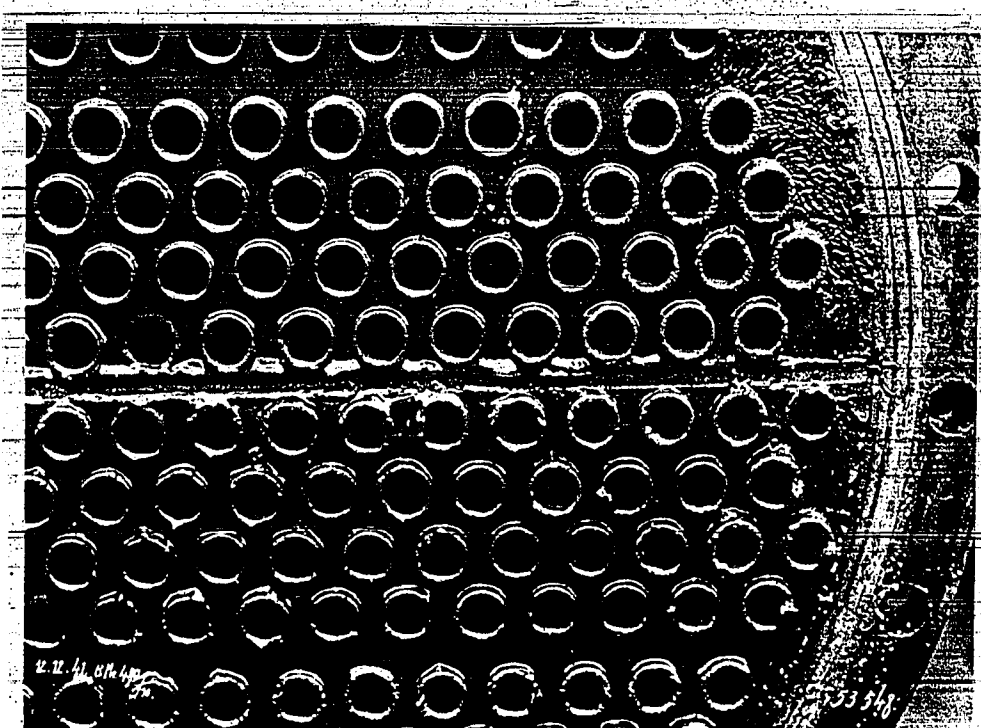


Abbildung 13
Mit Necrosit behandelter Kondensator nach
einer Laufzeit von 7 Monaten.

von harten Gegenständen bzw. maschinellen Vorrichtungen für die

Reinigung, würde die Lackschicht verletzen und ist auch überflüssig. Die Lackschicht verhindert also, wie man auf den Abbildungen deutlich sehen kann, die Verschmutzung und ergibt demnach im Dauerbetrieb auf der Wasserveite wesentlich bessere Wärmeübergangsverhältnisse. Sie kann aber auch einer viel höheren Temperatur ausgesetzt werden als die ungeschützten Kühlrohre und die Steigerung der Wassertemperatur auf 60°C ist nun ohne weiteres möglich. Die Lackschicht bedeutet demnach nur in den ersten Betriebsstagen eine geringe Verschlechterung des Wärmedurchgangs gegenüber dem ungeschützten Kondensator. Sobald aber die nicht lackierte Fläche Korrosionsangriffe aufweist, ist der mit Lack behandelte Kühler bedeutend überlegen.

Die Wärmeleitzahl der Neorisitschicht wurde aus Versuchen der Materialprüfung Leuna zu $\lambda = 0,7 \text{ kcal/m.h}$ und 0°C errechnet. Die Dicke der Lackschicht wird mit 0,2 und 0,3 mm angegeben. Diese Werte wurden den vorausgegangenen theoretischen Berechnungen zugrunde gelegt, sodaß diese ohne weiteres auf den mit Einbrennlack behandelten Kondensator angewendet werden können.

Am Kondensatoreingang bedeutet die Neorisitschicht in einer Stärke von 0,3 mm eine Verschlechterung der Wärmedurchgangszahl um etwa 20 bis 25 %, bezogen auf den nicht verschmutzten Apparat. Am Kondensatorausgang, d.h. im Gebiet der niederen Wärmeübergangsstellen auf der Dampfseite ist der Einfluß der Lackschicht auf die Wärmedurchgangszahl praktisch auf Null zurückgegangen.

Man hat durch diese Maßnahme zum Beispiel erreicht, daß ein Kondensator von 200 m^2 Kühlfläche, der nicht lackiert mit etwa $100 \text{ m}^3/\text{h}$ Wasser beschlagt wurde, jetzt nach dem neuen Bebohren und Lackieren in der gleichen Jahreszeit und bei der gleichen Belastung der Kolonne nur mehr mit $180-200 \text{ m}^3/\text{h}$ Wasser gefahren wird. Die Kühlwasseraustrittstemperatur konnte bei 64°C Kondensationstemperatur bis auf 55°C gesteigert werden. Nachdem sich während einer Betriebszeit von 3/4 Jahren keine Schäden an der Lackierung gezeigt haben, rechnen wir mindestens mit der doppelten, wahrscheinlich sogar mit der dreifachen Lebensdauer der Kondensatorbehrung, was in der heutigen Zeit der Materialknappheit besonders zu begrüßen ist. Als Beispiel sei nur genannt, daß wir bisher in Leuna in der Isobutyl- und Methanol-Destillation

jährlich etwa 15-20 t Kondensatorrohre verbraucht haben.

Die wirtschaftliche Rechnung einer derartigen Lackierung, und zwar für einen Kondensator von 200 m^2 Kühlfläche ist in Zahlentafel 4 zusammengestellt.

	<u>lackiert</u>	<u>nicht lackiert</u>
Lebensdauer	5 1/2 Jahre	2 3/4 Jahre
Kosten der Lackierung einschließlich abstrahlen und atomisieren	2 500.-- R	-
Berohren des Kondensators	-	1 000.-- R
Arbeitslohn	-	2 000.-- R
Rohrmaterial für den Kondensator (2150 m Rohr 27/32)	-	2 000.-- R
Reinigungsarbeiten jedes halben Jahr (10 Reinigungen in 5 1/2 Jahren)	1 000.-- R	2 000.-- R
Wasserheizverbrauch (100 l/h) in 5 1/2 Jahren	-	44 000.-- R
	3 500.-- R	49 000.-- R

Zahlentafel 4
Wirtschaftsrechnung für die Lackierung
eines 200 m^2 Kondensators.

Leider sind die bisher zur Verfügung stehenden Beschaffungen nur bis zu Kühlwassertemperaturen von etwa 60°C zulässig, da sie bei wesentlich höheren Temperaturen durch das Saale Wasser angegriffen werden. Es sind aber schon Bestrebungen im Gange, Überzüge für wesentlich höhere Temperaturen zu entwickeln. Dann wird es möglich sein, übermäßig groß dimensionierte Kondensatoren aus dem Material zu machen, das ausgenutzt werden kann. Es wird dann nicht mehr vorkommen, daß Apparate so wie der auf Abbildung gezeigte Kondensator, aussiehen. Sicherungszuschläge des berechnenden Ingenieurs werden sich dann nicht mehr in einer Anhäufung toten und unbenutzten Materials befinden.

Wir haben auch schon den Versuch gemacht ein Kondensator, die wir zum Berohren nicht auswechseln konnten, die einzeln Rohre zu lackieren und dann einzwalzen. An der Walzstall

wird dann die Lackschicht weggequetscht und kann praktisch nicht mehr ausgebessert werden. Es läßt sich nämlich nicht vermischen, daß Schmutz und Öl bei diesem Vorgang an die Rohrwand gelangt und die Lackierung hält nur auf vollständig blifreien Flächen. Außerdem wäre es auch schwierig, die für das Harten der Lackschicht erforderliche Temperatur von 150° C auf die Rohre zu bringen. Nur bei Kondensatoren, die einen Druck von etwa 16 Atm. im Mittel auf halten, konnte man dies evtl. durch Anschließen an eine Hochdruckdampfleitung erreichen. Wir hoffen aber, daß wenigstens die gut erhaltene Lackschicht außerhalb der Walzzone in dem übrigen Rohr der Korrosion verhindert und daß, wenn wir in $2 \frac{1}{2}$ Jahren die Rohre auswechseln müssen, wenigstens der lackierte Teil erhalten geblieben ist und durch Vorschuhnen eines kurzen Rohrstückes oder durch Einwalzen in andere kürzere Kondensatoren der größte Teil des Materials erhalten bleibt. Das Lackieren eines Apparates an Ort und Stelle dürfte nur sehr schwer möglich sein, man wird also fast immer den Kühler oder Kondensator ausbauen und in die Werkstatt schaffen müssen. Besonders bei liegenden Apparaten wäre es unmöglich, die Rohre gleichmäßig mit Lack zu bestreichen.

3. Gasabfuhr aus dem Kondensator.

Die theoretischen Untersuchungen haben ferner gezeigt, daß schon mit geringer im Eintrittsprodukt gelöste Gasmenge eine starke Verschlechterung der Übergangszahl im letzten Teil des Kondensators und dadurch eine relativ hohe Kühlfläche zur Folge hat. Es ist deshalb nicht ratsam, durch Einleiten von zusätzlichen Gasen, z.B. für die Standmessung, die Druckdifferenzmessung usw. diese Gasmenge noch zu erhöhen. Bei einem normal dimensionierten Kondensator würde eine solche Maßnahme eine Vergrößerung der Kühlwassermenge bedeuten.

Außerdem ist es unbedingt zu empfehlen das Gas dort abzuführen, wohin es entsprechend seiner Dichte von selbst strömt, d.h. wenn das Inertgas leichter ist als der Dampf, muß der Gasaustritt oben sein, umgekehrt wenn es schwerer ist als der Dampf, ist der Gasaustritt unten anzurichten. Erfolgt man diese Regel nicht, so wird das Gas entgegen der Strömungsrichtung in den Dampf hineindiffundieren und den Anteil an Inertgas im Dampf erhöhen. Die

bedeutet aber wieder eine zusätzliche Herabsetzung der Wärmeübergangszahl und eine größere Kondensationsfläche, oder wenn diese nicht zur Verfügung steht, eine höhere Kühlwassermenge. Bei dem Kondensator der Kolonne 3, wo in erster Linie Dimethyläther als Gasanteil mit dem Molekulargewicht 46 vorhanden ist und Methanol-dampf mit dem Molekulargewicht 32 kondensiert wird, müßte die Strömungsrichtung des kondensierenden Gemisches von oben nach unten sein. Beim Kondensator der Kolonne 7, wo das spezifische Gewicht des Stickstoffs wesentlich kleiner als dasjenige von Isobutylalkohol ist, muß das Dampfgasmisch von unten nach oben durch den Kondensator geführt werden.

IV. Zusammenfassung.

Es wurde festgestellt, daß ein großer Teil der Kondensatoren wegen Unsicherheit in der Berechnung und wegen in Betrieb eintretender Verschmutzung überdimensioniert ist. Anhand von theoretischen Berechnungen wurde gezeigt, daß durch Erhöhen der Kühlwassertemperatur eine bessere Ausnutzung bei gleichzeitiger Einsparung an Kühlwasser möglich ist. Die in Leuna in den Destillationsanlagen der organischen Abteilung eingeführte Auskleidung der Küllerrohre mit Lacken, ermöglicht eine Erhöhung der Kühlwassertemperatur, ohne daß ein Korrosionsangriff zu befürchten ist. Diese Maßnahme hat sich infolge einer bedeutenden Einsparung an Rohrmaterial als großer wirtschaftlicher Fortschritt erwiesen.